

УДК 539.21:535.37

©1993

## ОПТИЧЕСКИЕ И МАГНИТООПТИЧЕСКИЕ ЯВЛЕНИЯ НА КРАЮ ПОГЛОЩЕНИЯ УПРУГОНАПРЯЖЕННОГО ТЕЛЛУРИДА КАДМИЯ

Г.Н.Алиев, О.С.Кошуг, А.И.Несвижский, Р.П.Сейсян, Т.В.Язева

При  $T = 2$  К и в магнитных полях до 7.5 Тл выполнено исследование края поглощения тонких ( $d \sim 1$  мкм) монокристаллических пластин высокосовершенного CdTe в условиях слабой ( $\Delta_e < R^*$ ) упругой деформации, создаваемой приклейкой образца к относительно толстой стеклянной подложке. Наблюдались уникальные спектры по количеству и полуширинам дискретных линий как в магнитном поле, так и без него. Установлено отсутствие заметного эффекта деформации и на энергиях экситонных состояний, и на качестве спектров. Влияние деформации сказалось лишь на разнесении спектров на две серии переходов, раздвинутых на величину деформационного расщепления  $\Delta_e$ . Включение магнитного поля позволяет наблюдать одновременно эффекты слабого поля — диамагнитный сдвиг и эффект Зеемана — и сильного поля — осциллирующее магнитопоглощение, рассматриваемое как суперпозиция спектров диамагнитных экситонов. Предложена схема соответствия квантовых состояний 3D и 1D экситона, образующегося в сильном магнитном поле. Выполненный расчет энергий связи дает возможность реконструировать не наблюдаемый экспериментально спектр переходов между подзонами Ландау и установить наборы зонных параметров, характеризующих модели высокочастотных, низкочастотных и экситонных явлений. Соответствующие системы параметров в CdTe заметно различаются из-за относительно сильного экситон-фононного и экситон-фотонного взаимодействия в этом кристалле. Предложены самосогласованные и полные наборы энергетических параметров CdTe в упомянутых моделях.

Несмотря на то что теллурид кадмия принадлежит к числу наиболее интенсивно изучаемых полупроводниковых кристаллов, край оптического поглощения в нем до последнего времени оставался практически не исследованным. Причиной тому оказываются высокие значения коэффициента поглощения, достигающие в основном состоянии экситона ( $n_0 = 1$ ) величин порядка  $\sim 10^5$  см<sup>-1</sup>. Это при прямом измерении прозрачности приводит к необходимости работы с образцами субмикронной толщины, тогда как информация о собственно CdTe, получаемая на «толстых» образцах из экспериментов по отражению света или краевой люминесценции, существенно более ограничена, чем в опытах по поглощению света. По-видимому, впервые удалось преодолеть эти экспериментальные трудности относительно недавно в [1,2], где опыты проводились на свободных монокристаллических пластинках CdTe высокого совершенства при толщинах образца  $d \lesssim 1$  мкм. При этом удалось наблюдать в поглощении экситонную серию, включавшую в себя помимо основного состояния еще и возбужденные,  $n_0 = 2, 3 \dots$ , а также особенность на фоне континуума ( $h\nu > E_g$ ), связанную с экситон-фононным взаимодействием.

При помещении таких кристаллов в магнитное поле уже при  $H \sim 1$  Тл возникал осциллирующий спектр, включавший в себя множество узких

линий [<sup>2,3</sup>], а температурная зависимость края поглощения обнаруживала поляритонное поведение  $1s$  состояния вплоть до температуры  $T \sim 80$  К [<sup>4</sup>]. Слабые контролируемые деформации, вносимые приклейкой «тонкого» образца к «толстой» прозрачной подложке, как выяснилось [<sup>5</sup>], не ухудшали, а улучшали качество спектров, позволяя наблюдать дополнительные возбужденные состояния экситона, а экстраполяция квадратичной зависимости от магнитного поля в области диамагнитного сдвига экситонных состояний давала возможность установить положение еще одного, более высокого по энергии возбужденного состояния, которое интерпретировалось в [<sup>5</sup>] как  $n_0 = 5$ .

В настоящей работе мы уделили внимание подробному изучению упругоапряженного образца и вычислению по его спектрам параметров электронного и дырочного, а также экситонного энергетических спектров, имея в виду то обстоятельство, что спектры экситонной серии и магнитопоглощения позволяют установить самосогласованные энергетические параметры, связывающие законы дисперсии всех видов носителей заряда вблизи центра зоны Бриллюэна.

## 1. Методика эксперимента и анализ деформированного состояния CdTe

Способ внесения контролируемых упругих напряжений в образец, предназначенный для оптического исследования, путем приклейки «тонкого» образца к «толстой» прозрачной подложке с известным коэффициентом термического расширения  $\alpha_T$  в определенной ориентации хорошо известен (см., например, [<sup>6,7</sup>]). В эксперименте применялись образцы объемного монокристаллического  $p : \text{CdTe}$  высокого совершенства.<sup>1</sup> Они приклеивались к подложке из оптического стекла супербальзамом и далее доводились до толщины  $d < 1$  мкм последовательной механической и химической обработкой.

Спектр края поглощения исследованных образцов, для которых поверхность была сориентирована параллельно плоскости спайности (110), приводится на рис. 1. Состав таких спектров для случая сильной деформации ( $\Delta_e \gg R$ ) хорошо изучен (см., например, [<sup>7,8</sup>])

$$E^\pm(n_0, e) = E_G(0) + (D_d^c - D_d^v) \text{Spe} \pm 4/3 \left[ (D_u^2/2) \sum_{ij} (e_{ii} - e_{jj})^2 + \right. \\ \left. + (D'_u^2/2) \sum_{i \neq j} e_{ij}^2 \right]^{1/2} - R^\pm(n_0, e) = E_g(0) + \delta E_g(e) \pm \Delta_e - R^\pm(n_0). \quad (1)$$

Здесь  $E_g(0)$  — ширина запрещенной зоны недеформированного кристалла;  $D_d^c$ ,  $D_d^v$ ,  $D_u$ ,  $D'_u$  — константы деформационного потенциала (КДП) (в обозначениях Клейнера и Рот [<sup>9</sup>]);  $e_{ij}$  — компоненты тензора упругой деформации в осях кристалла;  $R^\pm(n_0)$  — энергии связи экситонных состояний, относящиеся к проекциям момента дырки  $M_v = \pm 1/2$  и  $\pm 3/2$  (знаки в индексе  $R^\pm$  соответствуют знакам третьего члена в (1): в нашем случае

<sup>1</sup> Исходные монокристаллы любезно предоставлены Н.П. Гавалешко.

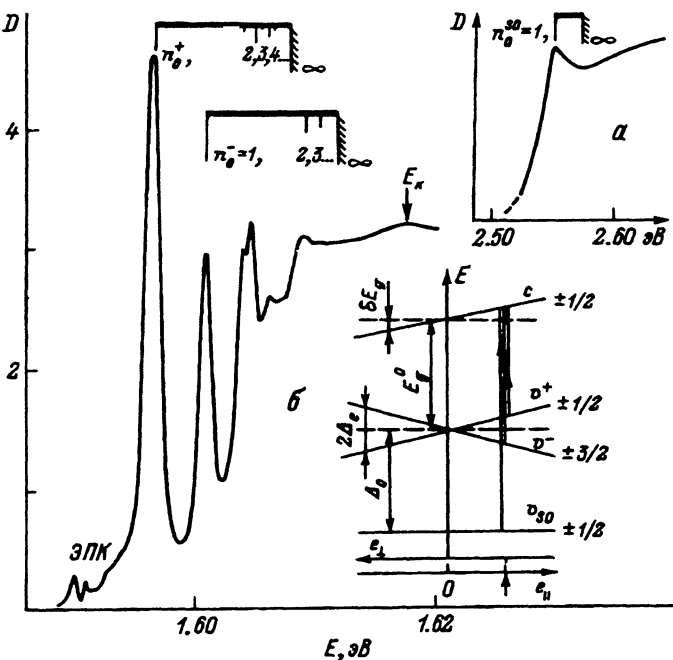


Рис. 1. Спектр края поглощения слабо упругодеформированных кристаллов CdTe.  $d \sim 1$  мкм,  $T = 2$  К. Сверху прямоугольными скобками показано предполагаемое расположение двух экситонных серий, связанных с расщепившимися  $v^\pm$ -зонами.  
На вставках: а — спектр поглощения в области переходов с третьей валентной зоны, отщепленной спин-орбитальным взаимодействием;  
б — схема расщепления и движения зон, стрелкой показано расположение исследуемого образца на шкале деформаций.

деформации сжатия по нормали к подложке «плюс» относятся к длинноволновой серии с  $M_v = \pm 1/2$ , «минус» — к коротковолновой с  $M_v = \pm 3/2$ . В случае растяжения зоны меняются местами — см. вставку к рис. 1).

КДП CdTe измерялись в нескольких работах и, по данным работы [10], равны:  $(D_d^c - D_d^v) = -4/5$  эВ,  $D_u = 1.77$  эВ и  $D'_u = 4.18$  эВ. Компоненты тензора деформации в осях кристалла находятся через деформацию в плоскости образца  $e$ , определяемую как интеграл от разности коэффициентов термического расширения образца и подложки по температуре — от температуры склейки до температуры измерений — и компоненты тензора упругой жесткости  $c_{ij}$ . Для деформации в плоскости (110) можно получить (см., например, [7])

$$\delta E_g = (D_{d^c} - D_d^v)(2 - \lambda_{110})e, \\ \Delta_e = (D_u^2 - 3D_u'^2)^{1/2} (1 + \lambda_{110})|e|/3. \quad (2)$$

Здесь

$$\lambda_{110} = (c_{11} + 3c_{12} - 2c_{44}) / (c_{11} + c_{12} - 2c_{44}).$$

Учитывая известные  $c_{ij}$  [10] для CdTe, получим  $\lambda_{110} = 0.97$  и далее

$$\delta E_g = -4.6e, \\ \Delta_e = 4.9|e|. \quad (3)$$

## 2. Энергия связи экситона в деформированном кристалле

В общем случае произвольной деформации энергия связи экситона зависит от  $e$ , поэтому для сопоставления с экспериментальными данными необходимо решить вопрос о масштабе зависимости. В пределе сильной деформации ( $e \rightarrow \infty$ ) энергия связи от деформации не зависит и строится на практически одинаковых приведенных массах [11]

$$\mu_{\text{экс}}^+ = \mu_{\text{экс}}^- = (m_0/m_c^* + \gamma_1)^{-1} = \mu_0, \quad (4)$$

получаемых усреднением по поперечному и продольному направлениям двух эллипсоидов дырочной массы, соответствующих «верхней» и «нижней» отщепившимся подзонам. Более точный вариационный расчет выявляет несущественную разницу:  $R_\infty^+ = 10.2$  и  $R_\infty^- = 10.3$  мэВ. Эти величины почти равны и при использовании «полярных» параметров зон CdTe, полученных в настоящей работе, практически совпадают с

$$R_0 = \left( e^4 / 2\hbar^2 \kappa_{\text{эфф}}^2 \right) (m_0/m_c^{**} + \gamma_1^*)^{-1} = 10.3 \pm 0.1 \text{ мэВ.}$$

В случае промежуточной деформации  $R_0 \sim \Delta_e$  энергию связи можно найти аналогично энергии ионизации акцептора в кристаллах германия [12,13] как

$$R^\pm(e) = R_\infty^\pm + Z_0^\pm / 2\Delta_e + \dots, \quad (5)$$

где поправки  $Z_0^\pm$  находятся при использовании вариационного принципа. Ясно, что (5) не дает правильного ответа при  $\Delta_e \rightarrow 0$  и в нашем случае будут необходимы более высокие члены разложения с  $Z_{1,2,\dots}$ , так чтобы в сумме не превысить величину  $R^\pm(0)$ , определенную в [5] как  $10.6 \pm 0.1$  мэВ. В рассматриваемом случае  $\Delta_e \sim 2$  мэВ  $\ll R_0$  и естественно ожидать практически нулевой эффект энергии связи  $R_e \sim R^*(0)$ . Это согласуется с результатами [5], где анализировались две экситонные серии, связанные с расщепленными зонами, и показано, что обе с высокой точностью водородоподобны и соответствуют  $R^+ = R^- = 10.66 \pm 0.06$  мэВ. Важно, что при этом не были использованы никакие дополнительные сведения о параметрах CdTe, например об эффективных массах или диэлектрической проницаемости, и результат является исключительно следствием анализа спектра экситонной серии. Таким образом, полученная величина может быть только меньше или равна  $R^*(0)$ . Применяя в области  $0 < \Delta_e < R^*$  экстраполяцию, близкую к линейной, и оперируя нижним пределом  $R^\pm$  их [5], мы можем принять окончательно  $R^*(0) = 10.7$  мэВ. Это позволяет с высокой точностью установить по экситонному спектру свободного образца положение  $E_g(0)$  и далее величины сдвига и расщепления  $v$ -зон:  $\delta E_g = 2.5$  мэВ и  $\Delta_e = 2.1$  мэВ.

Расщепление экситонных состояний в случае промежуточной деформации может быть записано подобно (3), но с введением коэффициента  $\varphi_1(\zeta)$ , зависящего от отношения приведенных масс электрона с легкой и тяжелой дырками ( $\zeta = m_{lh}^* (m_c^* + m_{hh}^*) / (m_c^* + m_{lh}^*) m_{hh}^*$ )

$$\Delta_e = 4.9 |e| \varphi_1(\zeta). \quad (6)$$

Таблица 1

Параметры экситонной серии на краю поглощения свободных и упругонапряженных кристаллов CdTe (энергии — в мэВ)

Состояние кристалла	$E_g^0, E_g^-$	$R_0, R_\infty^\pm$	$R^*, R^\pm$	$e \cdot 10^4$	$\Delta E_{1s}$	$\Delta E_{2s}$	$\Delta E_{3s}$	$\Delta_e$	$\delta E_g$
Свободное	1607.1	10.3	10.7	0	0.37	0.15	0.07	0	0
Упруго-напряженное	+ 1607.3	10.2	10.66	-4.4	0	0	0	2.1	2.5
	- 1611.5	10.3	10.7						

Подобная зависимость  $\varphi_1(\zeta^*)$  найдена в [14] вариационным методом для акцептора и  $A^-$ -центра в алмазоподобных полупроводниках. Она выражается сублинейным графиком при аргументе  $\zeta^* = m_{hh}/m_{hh}$  с предельными значениями  $\varphi_1(0) = 0.2$  и  $\varphi_1(1) = 1$ . Перенося это решение на случай экситона, мы воспользовались зависимостью из [15], применив в качестве аргумента отношение приведенных масс, характеризующее экситон. В нашем случае для CdTe  $\zeta = 0.64$ , это дает  $\varphi_1 = 0.96$ . Отсюда получим  $|e| = 4.4 \cdot 10^{-4}$ , что, согласно (3), соответствует  $\delta E_g = 2.0$  мэВ при деформации сжатия ( $e < 0$ ). Некоторое рассогласование с экспериментом в величине  $E_g$  не является неожиданным, так как КДП CdTe известны с точностью не лучше  $\pm 20\%$ . Параметры края поглощения деформированного и свободного образцов CdTe приводятся в табл. 1.

### 3. Поведение края поглощения в слабом магнитном поле

Поведение края поглощения в слабом магнитном поле ( $H < H^*$ ) определяется эффектом Зеемана и диамагнитным сдвигом экситона. Для алмазоподобных полупроводников они исследованы теоретически в ряде работ [15–17]. В единицах экситонного ридберга спектр при  $h\nu < E_g$  для  $n_0s$ -состояний может быть записан как

$$\begin{aligned} \epsilon(n_0) = -n_0^2 - \Delta \epsilon_d(n_0) + (g_1 M_v \mp g_2 M_v^3 + g_e \sigma) \beta + (q_1 + q_2 M_v^2) \beta^2 = \\ = \epsilon_0(n_0) + \Delta_{M\sigma}^{(n)} \beta + \Delta_{|M|}^{(n)} \beta^2. \end{aligned} \quad (7)$$

Здесь  $\epsilon_0(n_0) = -n_0^2 - \Delta \epsilon_d(n_0)$  описывает спектр экситона в алмазоподобном полупроводнике при  $H = 0$  с отклонениями от водородоподобности, даваемыми слагаемыми  $\Delta \epsilon_d(n_0)$ ;  $g_{1,2}$  и  $q_{1,2}$  — зависящие от  $n_0$  коэффициенты, определяемые параметрами зон  $m_c^*$ ,  $\gamma_{1,2,3}$ , а также  $k$  и  $q$  (для  $g_1$  и  $g_2$  соответственно);  $\Delta_{M\sigma}^{(n)}$  — коэффициент при  $\beta \sim H$  в эффекте Зеемана, описывающий по два перехода в  $\sigma^{+-}$ ,  $\sigma^{-+}$  и  $\pi$ -поляризациях;  $\Delta_{|M|}^{(n)}$  — коэффициент диамагнитного сдвига. Обратим внимание на то, что последний зависит от  $|M|$  и, в частности, различается для  $|M_v| = 1/2$  и  $3/2$ .

При наличии упругой деформации эффекты Зеемана и диамагнитного сдвига экситонных состояний в общем случае следует рассчитывать ме-

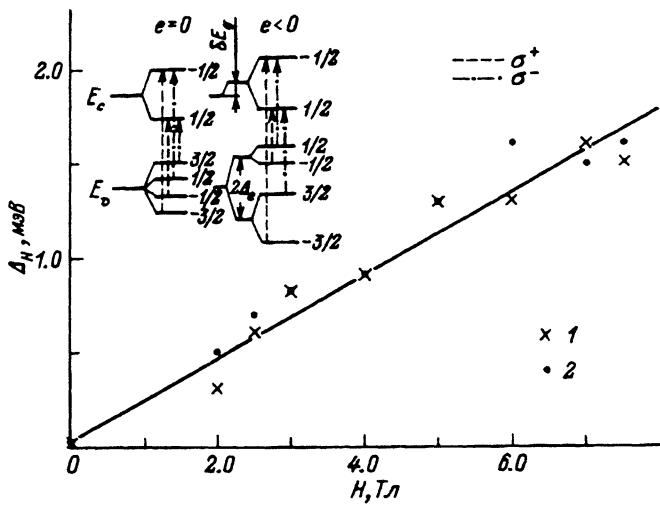


Рис. 2. Зеемановское расщепление 2s возбужденного состояния в CdTe при  $T = 2$  К как разность между переходами, принадлежащими в сильном поле возбужденным состояниям серий  $a^\pm$  и  $b^\pm$  за вычетом  $\delta_e$ .

1 —  $\sigma^+$  спектр,  $E(b^-(1)b^c(0)1B - a^-(1)a^c(0)1B)$ ;  
2 —  $\sigma^-$  спектр,  $E(a^+(1)a^c(0)1B - b^+(1)b^c(0)1B)$ .

На вставке — схема зеемановских переходов ненапряженного ( $e = 0$ ) и напряженного ( $e < 0$ ) кристаллов.

тодами теории возмущений, решая уравнение Шредингера [8] для деформированного полупроводника с вырожденной  $v$ -зоной, включающей в себя линейный и квадратичный по  $H$  члены. При этом в области  $\Delta E_H > \Delta_e$  учет деформации сводится главным образом к разнесению на  $2\Delta_e$  двух систем переходов, относящихся к дыркам с  $M_v = \pm 1/2$  и  $\pm 3/2$  и испытывающих по отдельности эффекты магнитного поля так же, как при  $e = 0$  (здесь  $\Delta E_H$  — смещение максимума в поле относительно его положения при  $H = 0$ ,  $\Delta E_H = E(H) - E(0)$ ). Малость  $\Delta_e$  в нашем случае позволяет почти во всем диапазоне  $h\nu$  рассматривать эффекты магнитного поля и деформации аддитивно. Исключение могут составить лишь начальные участки диамагнитного сдвига основного и первого возбужденного состояний. Таким образом, мы пользуемся приближением

$$E(n_0, H, e) = E_g^0 + R_0 \in_{M_\sigma} (n_0, H) + \delta E_g \pm \Delta_e (|M_v|), \quad (8)$$

где знак « $-$ » для нашего случая соответствует состояниям дырочной зоны с  $M_v = \pm 1/2$ , а знак « $+$ » состояниям с  $M_v = \pm 3/2$ . Вычитание  $2\Delta_e$  из более высокого энергетического состояния  $n_0 = 2$  позволяет, совместив с  $n_0 = 2$  при  $H = 0$ , определить величину зеемановского расщепления в зависимости от  $H$ .

На рис. 2 мы приводим зависимости от  $H$  для разности положений 2s-состояний  $\Delta E_H^{(2s)}$  в  $\sigma^+$  и  $\sigma^-$ -спектрах деформированных образцов для переходов серий  $a$  и  $b$ ; на вставке — схемы зеемановского расщепления уровней. Средняя величина расщепления составляет  $\delta = -0.22 \pm 0.02$  мэВ/Тл. Вклад дырки в расщепление определяется зонными параметрами  $k$  и  $q$ , притом  $q$  задает анизотропию расщепления и относительно мало:  $q \rightarrow 0$ . Учитывая расчетные значения  $g_{1,2}$  для данных

$k$  и  $q$  и исключая долю дырочных состояний в расщеплении, мы можем оценить для свободного образца  $g$ -фактор электрона. Дополнительное к  $\Delta_e$  (см. вставку к рис. 2) линейное по  $H$  расщепление между сериями  $a$  и  $b$  в  $\sigma^{\pm}$ -спектрах в соответствии с формулами из [14] и схемой на рис. 2 составляет

$$\Delta \in {}_H^{2s} = \Delta E_H^{(2s)} / \hbar\Omega_0 = \left( g^* - k^* - 3.25q + m_0\mu_0 / 10\mu_2^2 \right) \mu_0/n_0. \quad (9)$$

Здесь  $\Omega_0 = eH/\mu_0 c$ ,  $\mu_i$  — компоненты безразмерной приведенной массы ( $i = 0, 1, 2$ ):  $m_0\mu_0^{-1} = \gamma_1^* + m_0/m_c^{**}$ ,  $m_0\mu_1^{-1} = \gamma_2^*$ ,  $m_0\mu_2^{-1} = 2\sqrt{3}\gamma_3^*$ . Принимая  $k^* = 0.4$  и  $q = -0.02$ , получим  $g_c^* = -1.6 \pm 0.2$ , что удовлетворительно согласуется с известными:  $-1.59$  [18],  $-1.6$  [11],  $-1.77$  [19].

На рис. 3 мы приводим начальные участки веерных диаграмм для деформированного CdTe. Зависимости отчетливо демонстрируют диамагнитный сдвиг, который растет с увеличением  $n_0$ . Диамагнитный сдвиг доминирует в экспериментальных спектрах, и лишь в отдельных случаях возможна количественная регистрация зеемановского расщепления. На рис. 4 приводятся те же веерные диаграммы, перестроенные в логарифмических координатах. За начало отсчета для определения смещения  $\Delta E_H$  мы выбирали либо точку, наблюдаемую при  $H = 0$  реально, либо ее положение в результате квадратичной по  $H$  экстраполяции. Графики показывают наличие двух отчетливо выраженных участков: квадратичного и линейного по  $H$ , первый из которых относится к диамагнитному сдвигу, а второй соответствует изменению с магнитным полем положений уровней основных состояний диамагнитного экситона. Так как энергия связи ДЭ медленно увеличивается с увеличением  $H$  (в пределе  $\beta \rightarrow \infty$  как  $\ln^2(\beta/2)$ ), этот наклон практически не отличается в логарифмическом масштабе от линейного, характерного для уровней Ландау.

В табл. 2 мы приводим приблизительную идентификацию линий спектра при  $H = 0$ , соответствующую атому водорода (см., например, [20]). Производимая далее (раздел 4) расшифровка состояний диамагнитного экситона позволяет предложить определенную схему соответствия состояний сильнополевого и слабополевого спектров. Из табл. 2 следует, что наблюдаемые при  $H = 0$  максимумы относятся к различным уровням возбужденных состояний, главным образом к уровням с  $m = 0$ . В их числе не только  $2s$ ,  $3s$ , но и  $2p_0$ ,  $3p_0$ ,  $3d_0$  состояния, а также состояния, относящиеся к различным симметриям «кристаллического» происхождения. Мы приводим в табл. 2 также обозначения состояний с  $n_0 = 2$  по [20], с которыми есть согласование по энергетическому положению. Высказывавшееся в [5] предположение о наблюдении  $s$ -состояний с  $n_0 = 5$  следует признать маловероятным в связи с относительной малостью диамагнитного сдвига, который для возбужденных уровней, как можно ожидать, должен расти пропорционально  $n_0^4$ , а возгорающиеся в магнитном поле переходы, по-видимому, принадлежат состояниям с  $m \geq 1$ . Это позволяет приблизительно дискриминировать по  $n_0$  группы высоковозбужденных состояний. К сожалению, мы не располагаем теоретическим расчетом, который бы учитывал симметрию кристаллической решетки алмазоподобного полупроводника и деформацию и позволил бы количественно сопоставить теорию с экспериментом. «Осциллирующий» спектр образуется при пересечении положений для уровней Ландау (рис. 3)  $3D$ -экситонными состояниями с положительными, не равными нулю проекциями момента  $m \geq 1$ ,

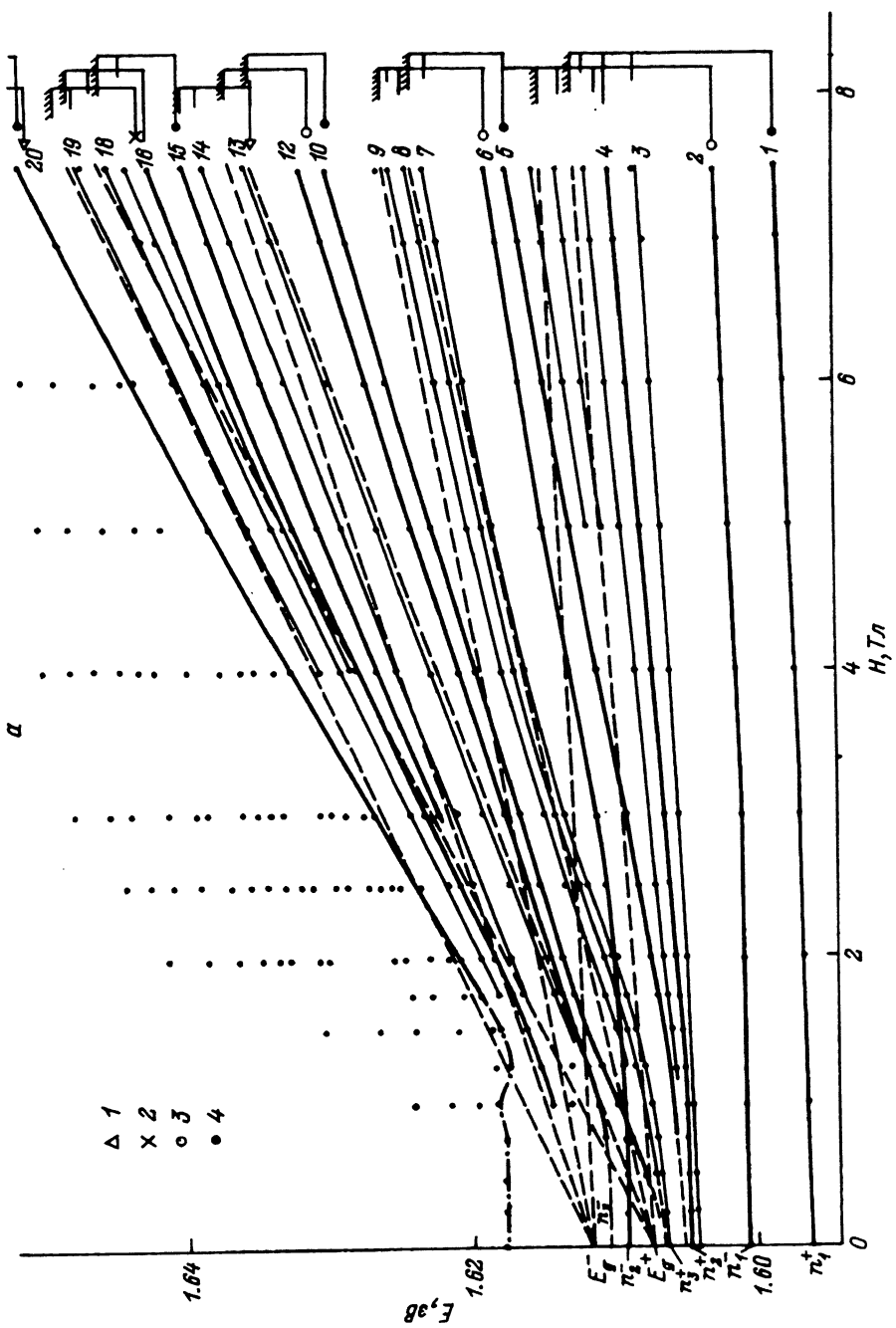
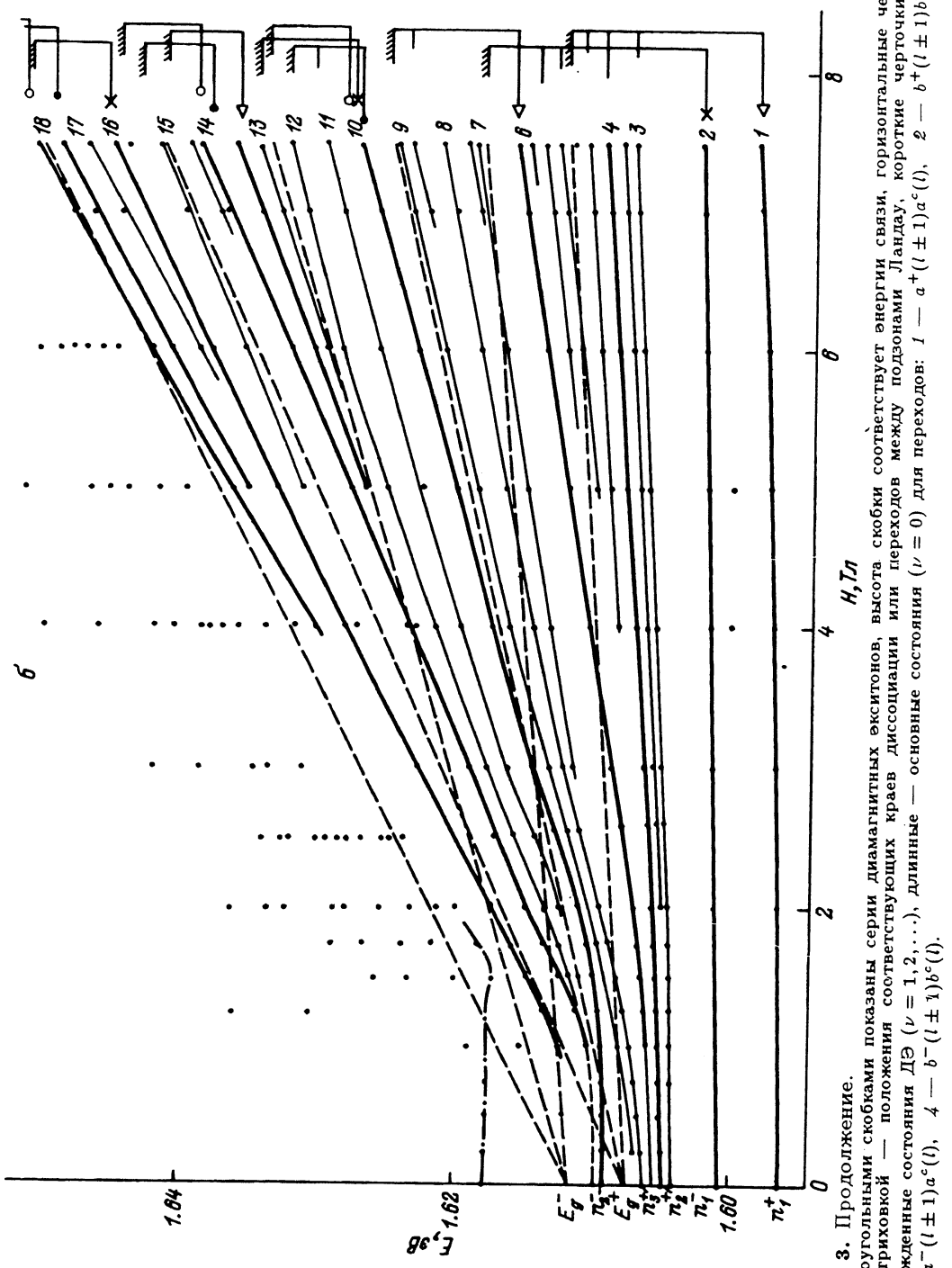


Рис. 3. Фрагменты веерных диаграмм CdTe ( $T = 2$  K) для наиболее длинноволновых максимумов.

Рис. 3.  $\chi_{\text{рольф.}}$  для спиральных кристаллов при различной поляризации. Сплошные кривые соединяют экспериментальные точки для наглядности. «Жирными» линиями обозначены наиболее интенсивные максимумы. Штриховые линии — теоретические положения энергий для переходов между подзонами Ландау. Триихпунктирной линией отмечено положение максимума для перехода с эмиссией  $L_O$ -фона. Цифры справа соответствуют порядковому номеру максимума поглощения в спектре на рис. 5.



**Рис. 3. Продолжение.**  
Прямоугольными скобками показаны серии диамагнитных экзитонов, высота которых соответствует энергии связи, горизонтальные черты со штриховкой — положения соответствующих краев диссоциации или переходов между подзонами Ландеу, короткие черточки — возбужденные состояния  $D\bar{\nu}$  ( $\nu = 1, 2, \dots$ ), длинные — основные состояния ( $\nu = 0$ ) для переходов: 1 —  $a^+(l \pm 1)a^c(l)$ , 2 —  $b^+(l \pm 1)b^c(l)$ , 3 —  $a^-(l \pm 1)a^c(l)$ , 4 —  $b^-(l \pm 1)b^c(l)$ .

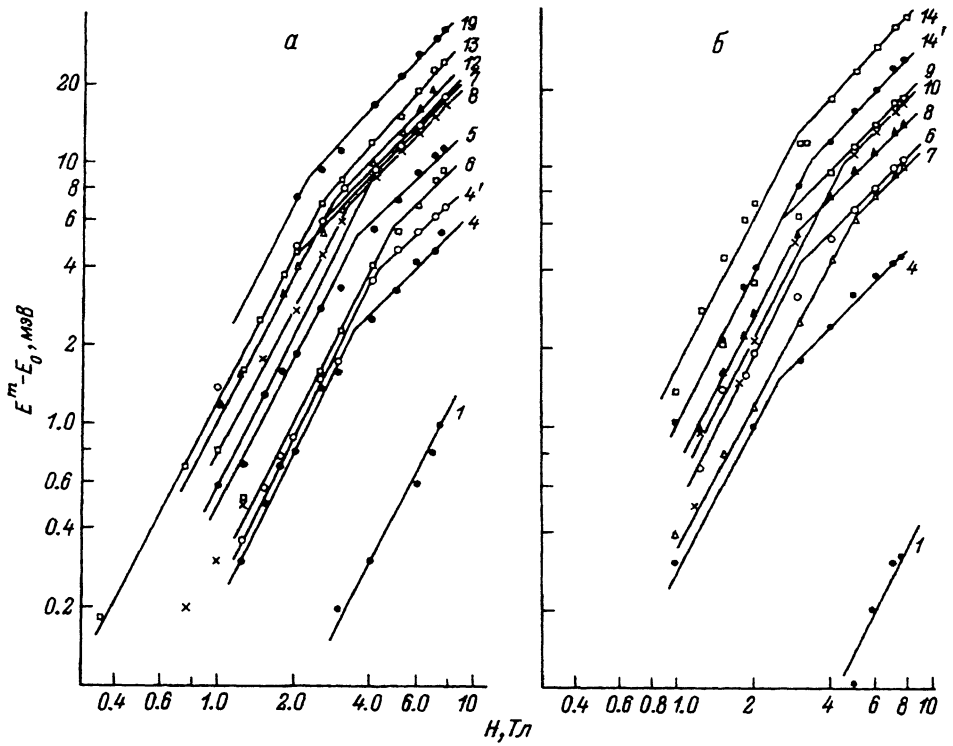


Рис. 4. Веерные диаграммы CdTe в логарифмическом масштабе.  
Поляризации:  $\sigma^+$  (а),  $\sigma^-$  (б).

Цифры — порядковые номера максимумов в спектрах на рис. 5.  $E_0$  выбиралось по рис. 3 при  $H = 0$  или же как результат квадратичной экстраполяции к  $H = 0$ .

возгорающими в магнитном поле. В их числе  $2p_{+1}$ ,  $3p_{+1}$ ,  $3d_{+1}$ ,  $3d_{+2}$ ,  $4f_{+3}$ ,  $5g_{+4}$ . При этом состояния с  $m \leq 0$  остаются в дискретном спектре и границ континуума не пересекают. Такая система соответствия уровней согласуется с многочисленными расчетами, выполненными для атома водорода и экспериментами по наблюдению уровней водородоподобных примесей в InSb [21] и других полупроводниках [22].

#### 4. Осцилляции магнитопоглощения

Осциллирующее магнитопоглощение (ОМП) упругонапряженного образца в сильном магнитном поле ( $\beta \gg 1$ ) при  $\Delta_e < \Delta E_H$  можно описывать как суперпозицию спектров ДЭ, имеющих краями диссоциации две энергии переходов между подзонами Ландау расщепленных валентных зон с  $M = \pm 1/2$  и  $\pm 3/2$  и зоны проводимости при тех же правилах отбора, что и в свободном кристалле. Вопрос о спектре переходов между подзонами Ландау был рассмотрен Эggerвалом [23], который воспользовался детерминантными уравнениями Пиджена-Брауна [24], описывающими спектр магнитных подзон электронов, легких и тяжелых дырок, а также дырок в третьей  $v$ -зоне, отщепленной спин-орбитальным взаимодействием в рамках модифицированной модели Кейна для ненапряженного кристалла. В первом приближении это оказалось возможным осуществить

Таблица 2

## Соответствие состояний экситона в слабополевой и сильнополевых областях экспериментальных спектров

<i>N</i>	$\sigma^\pm$	$\pm\Delta_2$	$M_v$	$nlm$	$LM\nu$	Обозначение состояния ДЭ	Примечание
3	+	+	-3/2	2p <sub>0</sub>	001	$b^-(1)b^c(0); 1B$	$2P_{3/2}(\Gamma_8^-)$
4	+	+	-3/2	2s <sub>0</sub>	002	$b^-(1)b^c(0); 2B$	$2S_{3/2}(\Gamma_8^+)$
4	-	+	3/2	2s <sub>0</sub>	002	$a^+(-1)a^c(0); 2B$	$2S_{3/2}(\Gamma_8^+)$
4'	-	+	3/2	3d <sub>0</sub>	004	$a^+(-1)a^c(0); 3B$	$2P_{5/2}(\Gamma_8^-)$
5	+	+	3/2	2p <sub>1</sub>	110	$b^-(2)b^c(1); \text{осн.}$	$2P_{5/2}(\Gamma_7^-)$
6	+	-	1/2	2p <sub>1</sub>	110	$a^-(2)a^c(1); \text{осн.}$	$2P_{5/2}(\Gamma_7^-)$
6	-	+	3/2	2p <sub>1</sub>	110	$a^+(0)a^c(1); \text{осн.}$	$2P_{5/2}(\Gamma_7^-)$
10	-	-	1/2	2p <sub>1</sub>	110	$b^+(0)b^c(1); \text{осн.}$	$2P_{5/2}(\Gamma_7^-)$
7	+	+	3/2	3d <sub>1</sub>	111	$b^-(2)b^c(1); 1B$	
8	-	+	3/2	3d <sub>1</sub>	111	$a^+(0)a^c(1); 1B$	
7'	+	+	-3/2	3p <sub>1</sub>	112	$b^-(2)b^c(1); 2B$	
9	-	-	1/2	3p <sub>1</sub>	112	$a^+(0)a^c(1); 2B$	
12	+	-	1/2	3d <sub>2</sub>	220	$a^-(3)a^c(2); \text{осн.}$	
18	+	-	-1/2	4f <sub>2</sub> (?)	222	$a^-(3)a^c(2); B$	
14	-	-	1/2	4f <sub>3</sub>	330	$a^-(4)a^c(3); \text{осн.}$	
19	+	-	-1/2	5g <sub>3</sub> (?)	332	$a^-(4)a^c(3); B$	
20	+	+	-3/2	5g <sub>4</sub>	440	$b^-(5)b^c(4); \text{осн.}$	

П р и м е ч а н и е. При обозначении переходов между подзонами Ландау в  $v$ - и  $c$ -зонах мы приводим обозначения: (1, 2, 3)B; осн., обозначающие 1-е, 2-е и 3-е возбужденные состояния (по возрастанию энергии) и основное состояние соответственно. Номер возбужденного состояния не ставится, если интерпретация не может быть уверенной. В последнем столбце — обозначения состояний спектра при  $H = 0$  по [21], совпадающих по энергии с приводимыми здесь.

для плоскости (110) и магнитного поля, направленного по оси [110], вводя в диагональные элементы двух матриц  $4 \times 4$  (соответствующие этим матрицам состояния обозначаются  $a$  и  $b$ ) поправку к  $E_g$  на гидростатическую деформацию  $-\delta E_g$  на расщепление  $\pm\Delta_e$ . Результирующая система переходов образует при  $h\nu - E_g^0 > \Delta_e$  две веерные диаграммы, сходящиеся к  $E_g^+$  и  $E_g^-$ . При этом для нашего случая деформации растяжения в плоскости «верхняя» по энергии система переходов образуется состояниями  $b_{3/2}^\pm - b_{1/2}^c$ , «нижняя»  $a_{1/2}^\pm - a_{1/2}^c$  в  $\sigma^+$ -спектре, «верхняя»  $a_{3/2}^\pm - a_{1/2}^c$  и «нижняя»  $b_{1/2}^\pm - b_{1/2}^c$  в  $\sigma^-$ -спектре (рис. 3).

Из рассмотрения веерных диаграмм становится очевидно, что наблюдаемые в эксперименте максимумы по сути являются экситонными, в то время как переходы между магнитными подзонами непосредственно никак не обозначаются в спектре.<sup>2</sup> Поэтому для дальнейшего анализа не-

<sup>2</sup> Этот вопрос в нашем случае  $\beta < 1$  не вполне ясен и требует специального исследования. Возможно, мы имеем отдельные факты (рис. 5) наблюдения линий, принадлежащих квазиконтигуумам или краям диссоциации, т.е. переходам непосредственно между подзонами Ландау.

обходимо установить энергию связи ДЭ:  $R_{\text{ДЭ}}$ . Однако, как уже отмечалось [2], стандартная методика расчета [7, 25], происходящая еще от работ Эллиота и Лудона [26] и Хасегавы и Говарда [27] и требующая выполнения условия сильного поля  $\beta \gg 1$ , не применима в нашем случае. Действительно, уже для  $\beta = 1$  здесь требуется магнитное поле  $H = 12$  Тл, превосходящее максимальное магнитное поле, достигавшееся в эксперименте. Тем не менее осциллирующая структура наблюдается и носит квазиандуский характер, т.е. расстояния между максимумами поглощения в спектре имеют порядок циклотронных энергий  $\hbar\Omega = \hbar(\omega_c^c + \omega_c^v)$ , где  $\omega_c^{cv}$  — циклотронные частоты для электрона (*c*) и дырки (*v*). Это происходит благодаря выраженности возбужденных состояний экситона при  $H = 0$  и их возгоранию при увеличении  $H$ . В то же время  $1s$ -состояние практически в образовании осциллирующего спектра не участвует, подчиняясь закономерностям эффектов слабого поля в полном соответствии с  $\beta \ll 1$ . Что же касается возбужденных состояний, то участие части из них в образовании «осциллирующего» спектра вполне очевидно и начинается для состояния с некоторым квантовым числом  $n_0$  с момента равенства  $\Delta E_H(n_0)$  для диамагнитного сдвига уровня его нулевой энергии связи  $R^{*l}$  и  $\Delta E_H(l)$  для уровня Ландау *l*. Естественно, критическое поле начала осцилляций зависит от  $n_0$ , а также от орбитального числа и магнитного квантового числа дырки, участвующей в переходе. Слабая деформация, слегка раздвигающая состояния с  $M = \pm 1/2$  и  $\pm 3/2$ , дает возможность надежнее установить реальное правило соответствия квантовых чисел для переходов в условиях  $\beta \ll 1$  и  $\beta \gg 1$ , т.е.  $3D$ -экситонных состояний и состояний квазиодномерного ( $1D$ ) диамагнитного экситона.

Методика расчета  $R_{\text{ДЭ}}$  для случая  $\beta \ll 1$  была развита в [28] для InP и дала хорошее согласие с экспериментом уже для первых состояний ДЭ на фоне континуума состояний. Что же касается экситонных уровней под «нулевым» уровнем Ландау, то здесь развитым в [28] методом могут быть рассчитаны только возбужденные состояния «нижней» серии как возбужденные уровни ДЭ, в то время как основное состояние ведет себя как трехмерное и подчиняется закономерностям эффектов Зеемана и диамагнитного сдвига. Ситуация в InP имеет много общего с CdTe, что делает естественной попытку применения этой методики в настоящей работе. Суть метода заключается в численном решении одномерного уравнения Шредингера

$$\left( -\frac{\hbar^2}{2\mu_{\lambda n}} \frac{d^2}{dz^2} + u_{IM\lambda}(z) - \varepsilon(z) \right) \psi(z) = E\psi(z) \quad (10)$$

с одномерным адиабатическим потенциалом  $u_{IM\lambda}(z)$ , «сконструированным» на радиальных волновых функциях  $\Phi_{IM}$ , описывающих движение экситона в плоскости, перпендикулярной магнитному полю  $H_z$

$$u_{IM\lambda}(z) = -\frac{e^2}{\kappa_0} \frac{1}{L} \int_0^{2\pi} d\varphi \int \frac{d\xi}{\sqrt{2\xi + z^2/L^2}} |\Phi_{IM}(\xi, \varphi, \lambda)|^2. \quad (11)$$

Здесь  $\xi = \rho^2/2L^2$ ;  $\varphi, \rho, z$  — цилиндрические координаты;  $\lambda = \pm 1/2, \pm 3/2$ ;  $n$  — квантовое число Ландау-Латтинжера. При этом и  $\Phi_{IM}$ , и

$\mu_{\lambda n}$  являются результатом решения методами теории возмущений (ТВ) квазидвумерного уравнения типа

$$\left[ -\frac{\hbar^2}{2\mu_\perp} \left( \nabla^2 - \frac{\rho^2}{2L^2} \right) \frac{e^2}{\kappa_0 \sqrt{\rho^2 + z^2}} \right] \Phi_{lM}(\rho) = \varepsilon(z) \Phi_{lM}(\rho), \quad (12)$$

получаемого совместно с (10) адиабатическим разделением переменных в исходном «трехмерном» уравнении Шредингера. При таком подходе последняя операция — численное решение 1D-уравнения Шредингера — не накладывает каких-либо ограничений на величину  $\beta$ . Требования к величине  $\beta \sim H$  возникают при адиабатическом разделении переменных и решении (12) методами ТВ. В качестве момента, оправдывающего адиабатическое разделение, авторы [28] обратили внимание на то, что уже сам факт экспериментального проявления квазиландауской структуры можно интерпретировать как произошедшее разделение быстрого (поперечного циклотронного) и адиабатически медленного (кулоновского) движений. Это же обстоятельство позволяет в первом приближении воспользоваться  $\mu_{\lambda n}$  и  $\Phi_{lM}$  из (12) для построения на одномерном кулоновском потенциале адиабатического потенциала (11) и получения искомого спектра энергий. Проблематичным остается определение длинноволновой границы применимости полученных результатов, и требуется каждый раз этот вопрос решать индивидуально, анализируя экспериментальные данные.

В табл. 3 мы приводим рассчитанные таким образом энергии связи основного ( $\nu = 0$ ) и первого возбужденного ( $\nu = 1$ ) состояний ДЭ в CdTe, а в табл. 4 — продольные массы дырок на уровнях Ландау  $m_{\lambda n}$ , на которых строится ДЭ (для  $H = 7.5$  Тл),  $\mu_{\lambda n}^{-1} = m_c^{*-1} + m_{\lambda n}^{-1}$ .

На рис. 5 изображены экспериментальные «осциллирующие» спектры ДЭ упругонапряженного CdTe для двух циркулярных поляризаций в фарадеевской геометрии. Под экспериментальным спектром приводится теоретический спектр ДЭ, вычисленный описанным выше способом. Теория и эксперимент хорошо согласуются для всех состояний на фоне континуума. В области дискретного спектра удовлетворительно описываются предлагаемым способом только возбужденные состояния. Во многих случаях на фоне континуума наблюдается не только наиболее интенсивное основное состояние ДЭ  $\nu = 0$ , но и возбужденные состояния  $\nu = 1, 2$ . Выделение серий ДЭ позволяет убедиться в справедливости расчета, так как для возбужденных состояний большого радиуса достаточно справедливыми оказываются и методы ТВ, следующие методике [25–27].

## 5. Анализ экспериментальных данных и вычисление энергетических зонных параметров CdTe

Убедившись в удовлетворительности примененного расчетного метода, можно установить положения переходов между подзонами Ландау как краев диссоциации соответствующих серий ДЭ и далее приступить к анализу зонной структуры CdTe. По системе уровней Ландау, восстановленной таким образом, возможно несколько процедур вычисления зонных параметров. Одна из них сводится к сравнению  $\sigma^{+-}$ - и  $\sigma^{-+}$ -спектров для вычисления удвоенных циклотронных энергий электронов и дырок по отдельности [7, 29]. Результаты мы приводим на

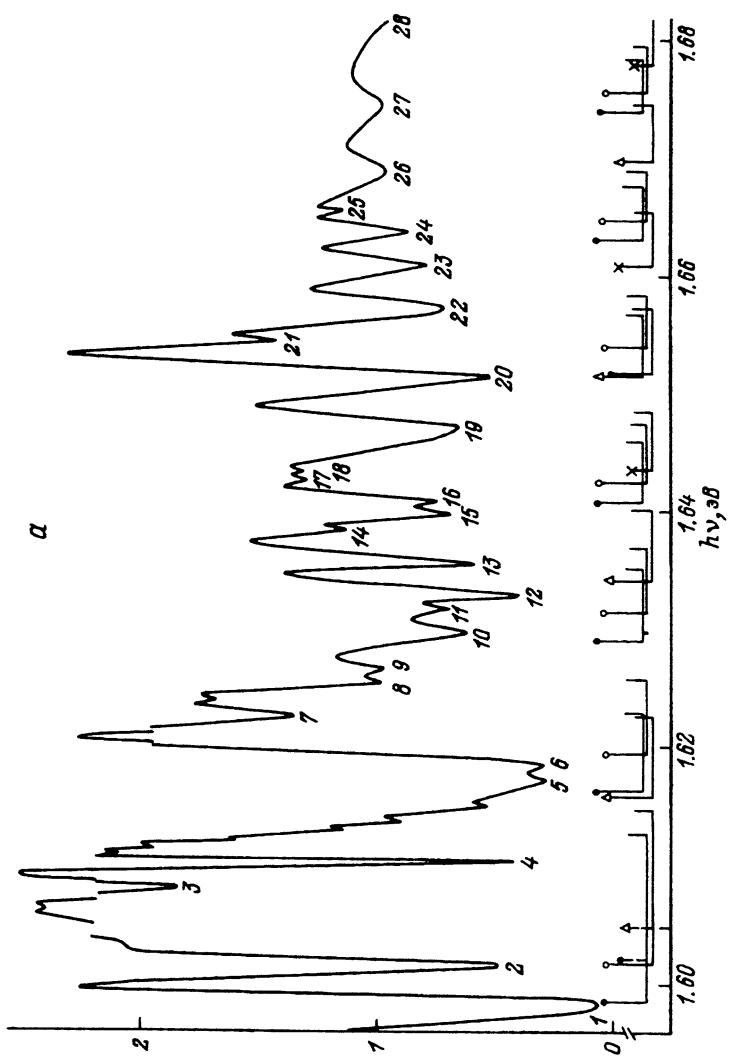


Рис. 5. Экспериментальные спектры ОМП или диамагнитных экситонов в CdTe при  $T = 2$  К и  $H = 7.5$  Т. л.

Поляризации:  $\sigma^+$  (a),  $\sigma^-$  (b).

Цифры — порядковые номера максимумов поглощения (на рисунке — минимумов). Прямоугольными скобками показаны серии диамагнитных экситонов, длина скобки соответствует энергии связи  $R_{\text{Дж}}$ , левая вертикаль — основное состояние ( $\nu \doteq 0$ ), правая — край диссоциации ( $\nu \doteq \infty$ ) или переход между подзонами Ландру. Обозначения — те же, что на рис. 3. Штриховые вертикали — неправильный результат расчета в рамках развитого в работе метода серии экситона с  $l_e \equiv 0$ .

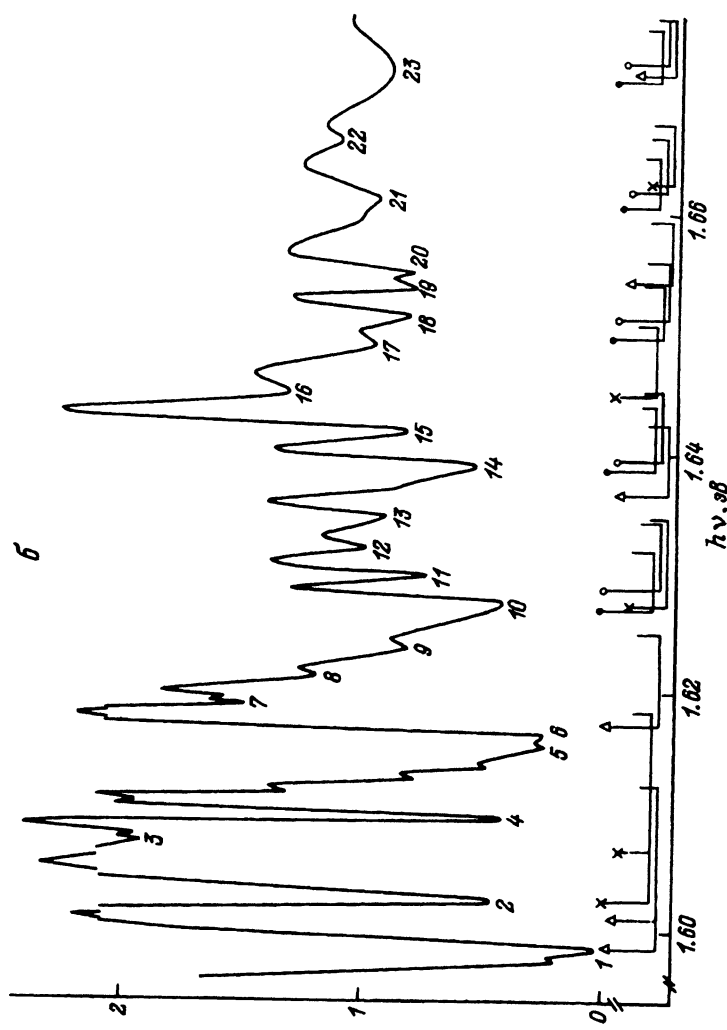


Рис. 5. Продолжение.

Таблица 3

Энергии связи диамагнитных экситонов в CdTe при  $H = 7.5$  Тл, рассчитанные вариационным методом

Квантовые числа		$\sigma^+$				$\sigma^-$			
$lc$	$\nu$	$b^+$	$a^+$	$b^-$	$a^-$	$b^+$	$a^+$	$b^-$	$a^-$
0	0	6.0	7.7	10.6	8.9	11.9	11.5	5.7	6.2
	1	1.7	1.6	1.9	2.4	2.6	2.2	1.8	1.8
	0	5.3	6.4	7.8	6.3	7.7	7.8	5.3	5.6
1	1	1.6	1.4	1.9	1.9	1.4	1.4	1.8	1.4
	0	4.8	5.6	6.4	5.4	6.2	5.9	5.0	5.1
	1	1.5	(1.3)	1.5	1.7	(1.2)	(1.4)	(1.7)	(1.4)
2	0	4.7	5.0	5.6	4.9	5.4	5.1	4.8	5.1
	1	(1.4)	(1.3)	1.4	1.6	(1.1)	(1.4)	1.8	(1.4)
	0	4.6	4.9	5.0	4.5	5.1	4.6	4.5	4.7
3	1	1.3	(1.2)	(1.3)	1.4	1.0	1.3	1.7	(1.3)
	0								
4	1								

П р и м е ч а н и е. В скобках приводятся оценочные значения энергий связи возбужденных состояний ДЭ, полученные интерполяцией.

Таблица 4

Продольные эффективные массы дырок на уровнях Ландау  $m_{\lambda m}$  в CdTe — в массах свободного электрона ( $\lambda = \pm 1/2; \pm 3/2$ )

$n$	$m_{-1/2}^+$	$m_{+1/2}^+$	$m_{-1/2}^-(0)$	$m_{+3/2}^-(0)$	$m_{-3/2}^-(k^*)$
-1	1.033	0.348	—	—	—
0	0.200	0.174	—	—	—
1	0.112	0.107	-0.146	0.179	0.84
2	0.109	0.103	-0.089	0.105	0.96
3	0.107	0.102	-0.065	0.075	1.01
4	0.106	0.102	-0.052	0.058	1.03
5	0.106	0.102	-0.043	0.047	1.04
6	0.105	0.102	-0.036	0.039	1.04

П р и м е ч а н и е. В расчетах  $R_{D\Delta}$  для обеих серий  $a$  и  $b$  использована  $m_{-3/2}^-(k^*)$ , а не  $m_{\pm 3/2}^-(0)$ .

рис. 6, а–в. Из рис. 6, а следует электронная масса на дне зоны проводимости  $m_0^{-1}m_c^*(0) = 0.090 \pm 0.002$  при коэффициенте непарabolичности  $p_c = 0.09 \text{ мэВ}^{-1}$ . Здесь  $p_c$  — коэффициент при  $k^4$  в разложении закона дисперсии электрона по четным степеням  $k$ . Он соотносится с безразмерным коэффициентом  $K_2$ , часто применяемым для тех же целей, как

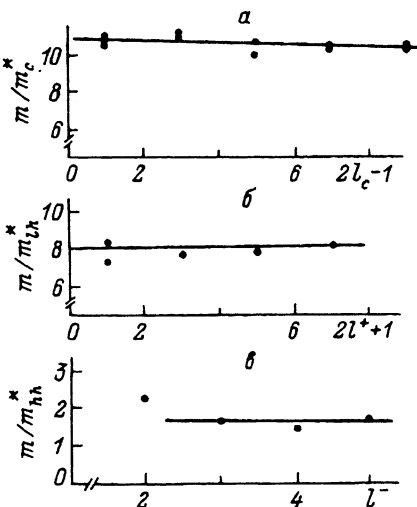


Рис. 6. Зависимости обратных циклотронных масс от квантовых чисел Ландау для CdTe при  $H = 7.5$  Тл и  $T = 2$  К.

а — электроны,  
б — легкие дырки,  
в — тяжелые дырки.

$K_2 = -p_e E_g (m_c^*(0)/m_0)^2$ ; в нашем случае  $K_2 = -1.2$ . Полученное значение массы на дне с-зоны приближается к известным, полученным из опытов по циклотронному резонансу (ЦР)  $0.096m_0$  [30, 31],  $0.092m_0$  [32] снизу, однако отклонение от наиболее широко употребляемой величины  $0.096m_0$  превышает ошибку эксперимента. Следует учесть, что данные ЦР при всей их высокой точности дают сведения о полярной массе  $m_c^{**}$ , отличающейся от зонной как

$$m_c^{**} = m_c^* (1 - \alpha_F/6)^{-1}, \quad (13)$$

где  $\alpha_F$  — фрелиховская константа, составляющая в CdTe  $\alpha_F \sim 0.37$ , тогда как наш эксперимент воспроизводит зонные массы. Электрон-фононное взаимодействие здесь заметно изменяет значение масс, и с полученными нами данными можно сравнить скорректированные данные ЦР, которые тогда уже совпадают с нашими с точностью не хуже  $1 - 2\%$ . С меньшей точностью, по данным ОМП, таким образом определяются дырочные массы: легкие дырки обычно бывают плохо представлены в  $\sigma^+$ -спектрах, что ограничивает количество расчетных точек, а тяжелые дырки даются близкорасположенными переходами, имеющими тенденцию сливаться при увеличении квантового числа Ландау  $l$ . Тем не менее данные рис. 6, б позволяют вычислить  $m_0^{-1} m_{lh}^* = 0.12 \pm 0.02$  для вершины зоны легких дырок и  $m_0^{-1} m_{hh}^* = 0.62 \pm 0.03$  для тяжелых. Эти данные относятся к осям второго порядка  $\langle 110 \rangle$  и находятся в удовлетворительном согласии с известными значениями параметров зонной структуры CdTe. Имея в виду то обстоятельство, что в опытах по ЦР для электронов и дырок в отдельности может быть достигнута большая точность, используем тот факт, что данные, получаемые в опытах по межзонному магнитопоглощению, ценные прежде всего взаимосвязанностью параметров при получении их из одного и того же опыта, на одном и том же образце. Кроме того, здесь возможно далекое продвижение в глубь разрешенных зон, позволяющее делать достоверные заключения о реальной непарараболичности и вкладах высших зон (см., например, [28]). Поэтому далее мы применим процедуру общей подгонки спектра ОМП к теоретическому, получаемому решением

детерминантных уравнений [23,24] с поправками на энергию связи диамагнитных экситонов  $R_{\text{ДЭ}}$ , полученными по методике, описанной выше.

Кроме того, воспользуемся тем фактом, что субмикронная толщина образца позволяет наблюдать спектр на глубинах  $h\nu > E_g(0) + \Delta_0$ , где  $\Delta_0$  — спин-орбитальное расщепление  $v$ -зон (см. вставку к рис. 1). Такое наблюдение выполнено и для тонких свободных кристаллов CdTe. Расчет энергии связи, соответствующей экситону на образовавшейся таким образом отщепленной зоне  $v_{SO}$  может выполняться по формуле [33]

$$R_{SO}^*(1s) = R_0 [1 - 8\Phi T_1(\Delta_0) / 5], \quad (14)$$

где  $\Phi = 8(\mu_0/\mu_1)^2 + (\mu_0/\mu_2)^2$ , а  $T_1(\Delta_0)$  — расчетный коэффициент, для CdTe близкий к  $-0.01$ . Это дает  $R_{SO}^* \approx R_0 = 10.3 \pm 0.2$  мэВ. Теоретическое значение эффективной массы  $m_{SO}^* = 0.36 \pm 0.01 m_0$  соответственно отношению

$$m_0 m_{SO}^{*-1} = \gamma_1^* - (E_p^*/3) (E_g^{*-1} - (E_g^* + \Delta_0)^{-1}). \quad (15)$$

Учет  $R_{SO}^*$  дает возможность установить  $\Delta_0 = 0.953 \pm 0.005$  эВ, что согласуется с известными 0.92 [11] 0.948 [34] и уточняет их.

Поиск минимума суммарной среднеквадратичной ошибки велся по параметрам  $E_p$ ,  $F$ ,  $N_1$ ,  $\gamma_1$ ,  $\gamma_2$ . При этом устанавливались  $E_g^0 = 1.6071$  эВ,  $\Delta_0 = 0.953$  эВ, а в качестве затравочных параметров выступали параметры, сосчитанные по полученным выше циклотронным энергиям в результате сравнения  $\sigma^+$ - и  $\sigma^-$ -спектров. Параметр  $k$ , характеризующий спиновое расщепление дырочных состояний, задавался через соотношение  $k = (2\gamma_2 - \gamma_1 - 2)/3 + \gamma_3 - \delta k$ . Мы использовали в качестве константы относительную гофрировку  $\delta = (\gamma_3 - \gamma_2)/\gamma_1$  по данным, полученным из опытов по ЦР [30]. Гофрировка не определялась в нашем эксперименте, выполненнном в единственной ориентации  $\mathbf{H} \parallel \mathbf{C}_2$ . Оптимальная величина малой поправки  $\delta k = q/2 + 5\delta_{\text{обм}}/4 - 2H_2/3$  (см. [35]), включенной в процедуру минимизации, оказалась равной или меньше нуля. Таким образом, мы не имели возможности судить и о точной величине малого параметра  $|q| \ll k$  [36], характеризующего анизотропию спинового расщепления дырок, и пользовались  $q = -0.02$  из [19]. В массив исходных экспериментальных данных вошла 31 точка энергетических положений основных состояний диамагнитного экситона в  $\sigma$ -спектрах при  $H = 7.5$  Тл. В результате минимизации был достигнут минимум, соответствующий средней ошибке на одну точку  $|\bar{\delta}_i| \sim 0.62$  мэВ. Последующие итерации, основанные на вычислении полярочных параметров и введении их для расчетов  $R_{\text{ДЭ}}$ , а также на уточнении других расчетных величин, были относительно мало значимыми и дали окончательно следующую систему параметров:

$$\begin{aligned} E_p &= 22.5 \text{ эВ}, & F &= -1.2 \text{ эВ}, \\ \gamma_1 &= 5.37, & \gamma_2 &= 1.67, & \gamma_3 &= 1.98, & k &= 0.64. \end{aligned} \quad (16)$$

Анализ зависимостей  $\sum_i^{31} \delta_i^2$  от  $E_p$ ,  $F$ ,  $\gamma_1$  и  $\gamma_2$  позволяет считать, что относительная погрешность их определения не превышает 2%.

Полученные параметры соответствуют следующим зонным массам и  $g$ -фактору в экстремумах зон:  $m_0^{-1}m_c^* = 0.0907$ ,  $m_0^{-1}m_{lh}^{*<110>} = 0.12$ ,  $m_0^{-1}m_{hh}^{*<110>} = 0.62$ ,  $g_c^* = -1.52$  и хорошо согласуются с величинами, измеренными прямо. Из  $g_c^*$ , полученного выше, при учете  $E_g$ ,  $\Delta_0$ ,  $E_p$  следует также  $N_1 = -0.01$ . Параметры (16) являются высокочастотными зонными параметрами, и для описания низкочастотных эффектов следует их модифицировать, учитывая поляронные поправки в соответствии с зависимостями [37,38]

$$\gamma_1^* = \gamma_1 (1 - \bar{\alpha}/6 - \mu\delta\alpha/6), \\ \mu^* = (\gamma_1/\gamma_1^*) [\mu(1 + \bar{\alpha}/30) - 4\delta\alpha/15], \quad (17)$$

где

$$\alpha_{\pm} = (e^2/\hbar) (\varkappa_0^{-1} - \varkappa_0^{-1}) (m_{\pm}/2\hbar\Omega_{LO})^{1/2}, \quad \bar{\alpha} = (\alpha_+ + \alpha_-)/2,$$

$$\delta\alpha = \alpha_- - \alpha_+, \quad \mu = (6\gamma_3 + 4\gamma_2) / 5\gamma_1,$$

а «+» и «-» — относятся к легким и тяжелым дыркам соответственно. Поляронные массы легких и тяжелых дырок связаны с константами взаимодействия  $\alpha_{\pm}$  и зонными массами  $m_{\pm}$  как [39]

$$m_{\pm}^* = m_{\pm} \left\{ 1 - (\alpha_{\pm}/6) \left[ -11/10 + (3/5)(m_{\pm}/m_{\mp})^{1/2} + (3/2)(m_{\mp}/m_{\pm})^{1/2} \right] \right\}^{-1}. \quad (18)$$

Система «поляронных» параметров зонной структуры CdTe в соответствии с (13), (16)–(18) и в предположении  $\delta = \delta^*$ , где  $\delta^* = (\gamma_3^* - \gamma_2^*)/\gamma_1^*$ , составляет

$$E_p^* = 21.0 \text{ эВ}, \gamma_1^* = 4.43, \gamma_2^* = 1.36, \gamma_3^* = 1.61, k^* = 0.4. \quad (19)$$

Поляронные параметры (19) соответствуют массам циклотронного резонанса, а также входят в описание других относительно низкочастотных ( $\omega < \omega_{TO}$ ) электрических и оптических эффектов. Для случая CdTe их отличие от зонных заметно благодаря близким к единице константам взаимодействия с фононами  $\alpha_F$ ,  $\alpha_{\pm}$ . По ним в приближении двух независимых поляронов могут быть сосчитаны параметры экситонных зон  $R^*$ , а также анизотропные поправки к энергиям 1s-, 2s- и 3s-состояний и сферически-симметричная часть экситонной энергии связи, которые даются  $E_{1,2,3}$  и  $R_0$  соответственно.

Это приближение, как показывает сравнение с нашими данными, полученными чисто экспериментально, без применения каких-либо априорных сведений об эффективных массах и диэлектрической проницаемости, вполне справедливо при использовании  $\varkappa_0 \lesssim 9.65$  [40]. Более последовательный подход, основанный на вариационной процедуре и сводящийся прежде всего к установлению эффективной диэлектрической проницаемости среды  $\varkappa_{\text{эфф}}$ , содержится в [41,42], однако он дает более существенные преимущества для объектов с большими значениями констант взаимодействия и меньшими экситонными радиусами  $a^*$ , так что  $a^* < l_f$ , где  $l_f = \hbar(2m_{c,v}^*\hbar\Omega_{LO})^{-1/2}$ . Небольшое отличие применявшейся величины  $\varkappa_0$  от наиболее современного значения 10.31 [43], возможно, и является

следствием случайногo выбора  $\kappa_0 \sim \kappa_{\text{эфф}}$ , лучшим подгоночным значением для которого оказывается  $\kappa_{\text{эфф}} = 9.46$ . Если также воспользоваться помимо (17) работами, в которых вычислены продольно-поперечное расщепление  $\Delta_{LT}$  [43,44] и константа обменного взаимодействия  $\Delta_{\text{обм}}$  [44,45], а также работали [46,47], где рассчитывались отклонения от параболического закона дисперсии экситона при  $K \rightarrow 0$ , можно составить следующую систему экситонных параметров свободного от механических напряжений CdTe (энергии — в мэВ; заимствованные из литературы данные — в скобках):

$$R^* = 10.7, R_0 = 10.3, \kappa_{\text{эфф}} = 9.46, \Delta E_1 = 0.37, \Delta E_2 = 0.15,$$

$$\Delta E_3 = 0.07, (\Delta_{LT} = 0.5 - 0.65, \Delta_{\text{обм}} = 0.07), \Delta E_k = 3.1,$$

$$K_{\min} = 1.7 \cdot 10^6 \text{ см}^{-1}, M^+ = 0.23m_0, M^- = 0.7m_0. \quad (20)$$

Система (20) хорошо согласуется с [5] и с результатами настоящей работы, а также существенно поправляет [1,2] и может, по-видимому, так же как (16) и (19), рассматриваться как одна из наиболее полных и достоверных.

В работе получены следующие основные результаты.

На сверхтонких монокристаллических пластинках слабо упругонапряженного CdTe выполнено наблюдение оптических и магнитооптических экситонных явлений вблизи края фундаментального поглощения. Анализ линейчатой структуры спектра в отсутствие магнитного поля, включающей в себя ряд возбужденных состояний, позволяет оценить влияние слабой деформации на энергию связи экситонных серий, связанных с двумя валентными зонами, образовавшимися в результате расщепления вырожденной при  $k = 0$  валентной зоны легких и тяжелых дырок. При включении магнитного поля наблюдаются эффекты слабого и сильного поля: диамагнитный сдвиг, эффект Зеемана и осциллирующее магнитопоглощение одновременно. При этом эффект сильного поля — ОМП — обнаруживается на фоне континуума ( $\hbar\nu > E_g$ ) при полях, существенно меньших, чем удовлетворяющие критерию сильного поля  $\beta \gg 1$ , что связано с наблюдением высоковозбужденных («ридберговских») состояний экситона. Критические поля перехода от явлений слабого поля к эффектам сильного поля тем ниже, чем более высокие возбужденные состояния экситона удается наблюдать при  $H = 0$ . Экспериментальная возможность проследить положение линии в спектре при переходе через критические поля, а также деформационное смещение двух серий переходов, происходящих от дырок с  $|M| = 3/2$  и  $1/2$ , дает основание предложить схему соответствия квантовых чисел  $3D$  и  $1D$  экситонных состояний. При обработке ОМП, интерпретируемого как спектр суперпозиции серий диамагнитных экситонов, использована методика расчета энергий связи, удовлетворяющая условиям эксперимента, где  $\beta < 1$ . В результате реконструируется энергетический спектр переходов между подзонами Ландау, что дает возможность различными методами рассчитать полные самосогласованные наборы зонных параметров ведеформированного CdTe. Многие несоответствия между экспериментальными и расчетными данными снимаются, если для интерпретации высокочастотных, низкочастотных и экситонных явлений применять предлагаемые в работе три

соответствующих набора параметров, заметно различающихся ввиду относительно сильного экситон-фононного и экситон-фотонного взаимодействий в этом кристалле.

В заключение авторы считают своим долгом выразить благодарность Л.В. Асянну, выполнившему тщательную перепроверку расчетов и параметров CdTe, приводимых в работе.

### Список литературы

- [1] Abdullaev M.A., Coschug O.S., Kokhanovskii S.I., Seisyan R.P. // J. Cryst. Growth. 1990. V. 101. N 1-4. P. 802-807.
- [2] Абдуллаев М.А., Кохановский С.И., Кошуг О.С., Сейсян Р.П. // ФТП. 1989. Т. 23. № 1. С. 1160-1163.
- [3] Алиев Г.Н., Кошуг О.С., Несвижский А.И., Сейсян Р.П., Язева Т.В. // ФТТ. 1992. Т. 34. № 8. С. 2393-2399.
- [4] Алиев Г.Н., Кошуг О.С., Сейсян Р.П. // ФТТ. 1993. Т. 35. В печати.
- [5] Алиев Г.Н., Гавалешко Н.П., Кошуг О.С., Плешко В.И., Сушкевич К.Д., Сейсян Р.П. // ФТТ. 1992. Т. 34. № 8. С. 2400-2406.
- [6] Осипов Ю.В. // ФТТ. 1966. Т. 8. № 8. С. 2280-2292.
- [7] Сейсян Р.П. Спектроскопия диамагнитных экситонов. М.: Наука, 1984. 273 с.
- [8] Бир Г.Л., Пикус Г.Е. Симметрия и деформационные эффекты в полупроводниках. М.: Наука, 1972. 584 с.
- [9] Kleiner W.H., Roth L.M. // Phys. Rev. Lett. 1959. V. 2. P. 234-236.
- [10] Thomas D.G. // J. Appl. Phys. Suppl. 1961. V. 32. N 10. P. 2298-2305.
- [11] Cardona M., Shaklee K., Pollak F. // Phys. Rev. B. 1967. V. 154. N 3. P. 696-721.
- [12] Price P.J. // Phys. Rev. 1956. V. 104. N 5. P. 1223.
- [13] Hall E.B., Costner I.G. // Phys. Rev. B. 1970. V. 1. N 12. P. 4763.
- [14] Аверкиев Н.С., Родина А.В. // ФТТ. 1993. Т. 35. № 4. С. 1051-1066.
- [15] Altarelli M., Lipari N.O. // Phys. Rev. B. 1973. V. 7. N 8. P. 3798-3802.
- [16] Swerkowski L. // Phys. Rev. B. 1974. V. 10. N 9. P. 3311-3317.
- [17] Lusakowski A., Suffczynski M. // Nuovo Chimento. 1982. V. 1D. N 2. P. 141-154.
- [18] Nakamura A., Weisbuch C. // Sol. St. Comm. 1979. V. 32. P. 301-304.
- [19] Molva E., Dang Le Si. // Phys. Rev. B. 1985. V. 32. N 3. P. 1156-1165; 1983. V. 27. N 10. P. 6222-6226.
- [20] Rösner W., Wunner G., Herold H., Ruder H. // J. Phys. B. 1984. V. 17. N 1. P. 29-52.
- [21] Lin-Chung P.J., Henvis B.W. // Phys. Rev. B. 1975. V. 12. N 2. P. 630-640.
- [22] Gantmacher V.F., Zverev V.N. // Landau Level Spektroskopie / Ed. G. Landwher, E.I. Rashba. Amsterdam, Elsevier, 1991. V. 27.2. Ch. 19. P. 1135-1180.
- [23] Aggarwal R.L. // Phys. Rev. B. 1970. V. 2. N 2. P. 446-457.
- [24] Pidgeon C.R., Brown R.N. // Phys. Rev. 1966. V. 146. N 2. P. 575-583.
- [25] Гельмонт Б.Л., Сейсян Р.П., Эфрос Ал.Л., Варфоломеев А.В. // ФТП. 1979. Т. 11. № 2. С. 238-248.
- [26] Elliot R.J., Loudon R.J. // Phys. Chem. Sol. 1959. V. 8. N 2. P. 382-388.
- [27] Hasegawa H., Howard R.E. // J. Phys. Chem. Sol. 1961. V. 21. N 1. P. 179-199.
- [28] Кохановский С.И., Макушенко Ю.М., Сейсян Р.П., Эфрос Ал.Л., Язева Т.В., Абдуллаев М.А. // ФТТ. 1991. Т. 33. № 6. С. 1719-1733.
- [29] Kanskaya L.M., Kokhanovskii S.I., Seisyan R.P., Efros Al.L. // Phys. Stat. Sol (b). 1983. V. 118. N 1. P. 447-452.
- [30] Mears A.L., Stradling R.A. // Sol. St. Comm. 1969. V. 7. N 17. P. 1267-1269.
- [31] Romestain R., Weisbuch C. // Phys. Rev. Lett. 1980. V. 45. N 25. P. 2067-2070.
- [32] Dang Le Si, Neu G., Romestain R. // Sol. St. Comm. 1982. V. 44. N 8. P. 1187-1191.
- [33] Baldereschi A., Lipari N.O. // Phys. Rev. B. 1971. V. 3. N 2. P. 439-451.
- [34] Twardowsky A., Rokita E., Gaj J.A. // Sol. St. Comm. 1980. V. 36. P. 927-930.
- [35] Efros Al.L., Kanskaya L.M., Kokhanovskii S.I., Seisyan R.P. // Phys. Stat. Sol (b). 1982. V. 114. N 2. P. 373-382.
- [36] Neumann C., Nöthe A., Lipari N.O. // Phys. Rev. B. 1988. V. 37. N 2. P. 922-933.
- [37] Trebin H.-R., Rössler U. // Phys. Stat. Sol. (b). 1975. V. 70. N P. 717-726.
- [38] Trebin H.-R. // Phys. Stat. Sol. (b). 1977. V. 81. P. 527-534.
- [39] Beni G., Rice T.M. // Phys. Rev. B. 1977. V. 15. N 2. P. 840-843.
- [40] Berlincourt D., Jaffe H., Shiozawa L.R. // Phys. Rev. 1963. V. 129. N 3. P. 1009-1017.

- [41] Pollmann J., Büttner H. // Phys. Rev. B. 1977. V. 16. N 10. P. 4480-4490.
- [42] Kane E.O. // Phys. Rev. B. 1978. V. 18. N 12. P. 6849-6855.
- [43] Weisbuch C., Ulbrich R.G. // Light Scattering in Solids. III / Ed. M.Cardona, G.Guntherodt. Springer-Verlag, Berlin, 1982. P. 207-263.
- [44] Sooryakumar R., Cardona M., Merle J.C. // Sol. St. Comm. 1983. V. 48. N 7. P. 581-584.
- [45] Rössler U., Trebin H.-R. // Phys. Rev. B. 1981. V. 23. N 4. P. 1961-1970.
- [46] Гельмонт Б.Л., Султанов С.Б., Эфрос Ал.Л. // ФТП. 1984. Т. 18. № 12. С. 2214-2219.
- [47] Райх М.Э., Эфрос Ал.Л. // Письма в ЖЭТФ. 1987. Т. 45. № 6. С. 301-304.

Физико-технический институт  
им. А.Ф.Иоффе РАН  
Санкт-Петербург

Поступило в Редакцию  
31 декабря 1992 г.

---